

第十二章 电磁感应

12.1 电磁感应及其基本规律

12.1.1 电磁感应现象 Electromagnetic Induction Phenomenon

法拉第电磁感应现象 $I \propto \frac{d}{dt}(\vec{B} \cdot \vec{S}) = \frac{d}{dt}(\Phi)$

1. 磁场相对于线圈或导体回路 改变大小和方向 (导体不动, 磁场动) $I \propto \frac{d}{dt} \vec{B}$

条形磁体插入拔出时, 弯曲磁感线被切割, 电路中有电流。电流大小和方向与磁铁运动速度方向有关。

2. 线圈或导体回路相对于磁场改变面积或取向 (磁场不动, 导体动) $I \propto \frac{d}{dt} \vec{S}$

导体棒划过线框或发电机

总结 ① 无论用何方法, 只要穿过闭合电路**磁通量发生变化**, **闭合电路**中就有电流产生。

感应电流 由磁通量的变化所引起的回路电流

感应电动势 由磁通量的变化所产生的电动势

电磁感应现象 由于磁通量变化产生感应电动势的现象

② **感应电流产生条件**: 电路必须闭合、磁通量发生变化

感应电动势产生条件: 导线或线圈在磁场中运动、线圈内磁场发生变化 (**不要求闭合**)

注意 ① 电磁感应的**本质**不是感应电流, 而是**感应电动势**

② 感应电流随着回路中电阻变化而变化, 而感应电动势与电阻无关, 唯一决定于磁通量变化率

③ 当 $\frac{d\Phi}{dt} \neq 0$ 时, 就产生感应电动势。当回路为闭合导体回路时, 在电动势作用下产生感应电流。

④ **感应电流与原电流本身无关, 是与原电流的变化有关。**

12.1.2 电磁感应定律 Electromagnetic Induction Law

法拉第电磁感应定律

内容 当穿过闭合回路所围面积的磁通量发生变化时, 回路中产生感应电动势, 其**正比于磁通量对时间变化率的负值**。该定律为实验定律。

公式 $\epsilon_i = -\frac{d\Phi}{dt}$ **单位**: 伏特

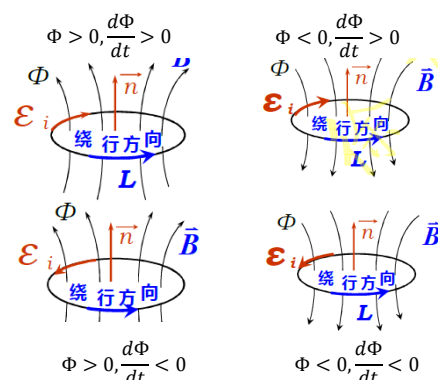
方向 由于公式中量均为标量, 故规定两个标定方向满足右螺旋关系
任意确定回路绕行方向, 规定**电动势方向与绕行方向一致时为正**。当磁力线方向与回路绕行方向成右螺旋时, **规定磁通量为正 (\vec{B} 与 \vec{e}_n 同向)**

① $\Phi > 0, \frac{d\Phi}{dt} > 0 \Rightarrow \epsilon_i < 0$ ϵ_i 与L方向相反

② $\Phi > 0, \frac{d\Phi}{dt} < 0 \Rightarrow \epsilon_i > 0$ ϵ_i 与L方向相同

③ $\Phi < 0, \frac{d\Phi}{dt} > 0 \Rightarrow \epsilon_i < 0$ ϵ_i 与L方向相反

④ $\Phi < 0, \frac{d\Phi}{dt} < 0 \Rightarrow \epsilon_i > 0$ ϵ_i 与L方向相同



N 匝情况 若回路有 n 匝线圈, 各匝 $\Phi = \varphi_1, \varphi_2, \dots$, 总 $\Phi = \varphi_1 + \varphi_2 + \dots + \varphi_n$ 。如果每匝磁通量相等, 则

$$\Phi = n\varphi \text{ (磁通链数)} \quad \text{有 } \varepsilon_i = -\frac{d\Phi}{dt} = -n\frac{d\varphi}{dt} \quad \text{使用总磁通运算}$$

感应电流 若闭合回路电阻为 R : $I_i = \frac{\varepsilon_i}{R} = -\frac{1}{R} \frac{d\Phi}{dt}$

感应电量 在 $t_1 - t_2$ 时间间隔内通过导线任一截面的感应电量 $dq = I_i dt$

$$q = \int_{t_1}^{t_2} I_i dt = -\frac{1}{R} \int_{\Phi_1}^{\Phi_2} d\Phi = \frac{1}{R} (\Phi_1 - \Phi_2)$$

楞次定律 Lenz law

内容

闭合回路中的感应电流方向, 总是使得它自己所激发的磁场 **阻碍** 引起感应电流的磁通量的变化 **感应电流的效果总是反抗引起感应电流的原因**。(反抗相对运动、磁场变化或线圈变形)

感应电流产生的磁通反抗回路原磁通的增大 (可以用楞次定律判断电流方向)

这种阻碍或反抗是 **能量守恒定律** 在电磁感应现象中的具体体现。

(磁棒插入线圈中, 线圈中感应电流产生的磁场阻碍磁棒插入, 若继续插入则需要克服磁场力做功, 感应电流释放出焦耳热, 这是插入的机械能转化而来的)

应用

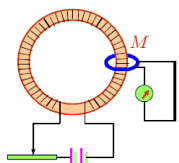
用法拉第电磁感应定律求解感应电动势

① 任意选定回路 L 正方向 ② 用右手螺旋法则确定此回路为边界的曲面的正向

③ 计算任意时刻通过 L 的磁通量 ④ 用 $\varepsilon_i = -\frac{d\Phi}{dt} = -n\frac{d\varphi}{dt}$ 计算 Φ_m

例题

1. 螺绕环, 截面积 $S = 2 \times 10^{-3} \text{ m}^2$, 单位长 $n = 5000 \text{ 匝/m}$, 环上有一匝数 $N = 5$ 的线圈 M , 电阻 $R = 2\Omega$ 。调节可变电阻使得通过螺绕环的电流每秒降低 20A , 求 ① M 中产生的感应电动势和感应电流 ② 2s 内通过 M 的感应电量 q_i

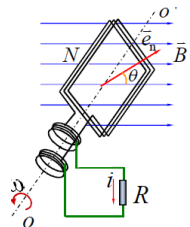


① 有安培环路定理 $B = \mu_0 n I$, 通过 M 的全部磁通: $\Phi = N\varphi = NBS = N\mu_0 n IS$

$$\varepsilon_i = -\frac{d\Phi}{dt} = -N\mu_0 n S \frac{dI}{dt} = 1.26 \times 10^{-3} \text{ V} \quad I_i = \frac{\varepsilon_i}{R} = 6.3 \times 10^{-4} \text{ A}$$

② 2s 内通过电量为 $q_i = \int_{t_1}^{t_2} I_i dt = I_i \Delta t = 1.26 \times 10^{-3} \text{ C}$

2. 匀强磁场中, 有面积为 S 的绕轴转动的 N 匝线圈以角速度 ω 匀速转动, 求线圈中的感应电动势



已知 S, N, ω , 求 ε 。设 $t = 0$ 时, \vec{e}_n 与 \vec{B} 同向, 则 $\theta = \omega t$, $\psi = N\phi = NBS \cos \omega t$

$$\varepsilon = -\frac{d\psi}{dt} = NBS\omega \sin \omega t \quad \text{如果令最大值为 } \varepsilon_m = NBS\omega, \text{ 则 } \varepsilon = \varepsilon_m \sin \omega t$$

$$i = \frac{\varepsilon_m \sin \omega t}{R} = I_m \sin \omega t \quad \left(I_m = \frac{\varepsilon_m}{R} \right) \quad \text{由此可见, 这种感应电流为交流电}$$

12.2 感应电动势

概述 有两种途径产生磁通量的变化

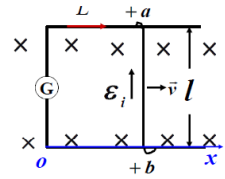
① **动生电动势**: 磁场不变 (稳恒磁场), 导体运动; 回路面积变化; 取向变化

② **感生电动势**: 导体不动, 磁场随时间变化

12.2.1 动生电动势

描述公式 如图建立坐标系, $\phi = Blx(t)$, $\epsilon_i = -\frac{d\phi}{dt} = -Bl\frac{dx}{dt} = -Blv$

负号说明电动势方向与所设方向相反。



形成原因 导线内每个自由电子受到的洛伦兹力为 $\vec{f}_{\text{非静电力}} = -e(\vec{v} \times \vec{B})$

其驱使电子沿导线由a向b移动, 由于洛伦兹力作用使b端出现过剩的负电荷, a端出现过剩正电荷

由此, 导线内部形成静电场 \vec{E} , 使电子受到静电力 $\vec{F}_e = -e\vec{E}$ 平衡时: $\vec{F}_e = \vec{f}$

此时电荷积累停止, ab两端形成稳定的电势差。洛伦兹力是产生动生电动势的根本原因。

平衡时 $qvB = -qE = -q\frac{\Delta U}{l} \Rightarrow \Delta U = -Blv$ ab等效电源, 反抗 \vec{F}_e 做功, 将+q由负极→正极, 维持

ΔU 的非静电力, 即洛伦兹力 \vec{f} 。动生电动势只存在于运动导体内

产生 $\epsilon_{\text{动}}$ 的非静电力 $\vec{F}_K = \vec{f} = q\vec{v} \times \vec{B}$ 非静电场强 $\vec{E}_K = \frac{\vec{f}}{q} = \vec{v} \times \vec{B}$ $\epsilon_{\text{动}} = \oint_L (\vec{v} \times \vec{B}) \cdot d\vec{l}$

一般情况 导线为曲线, 磁场为非均匀场。选取导线上微元 $d\vec{l}$, 其各自具有 \vec{v}, \vec{B} 。则 $d\vec{l}$ 上 $d\epsilon_i = (\vec{v} \times \vec{B}) \cdot d\vec{l}$

则整个导线 l 上的动生电动势为 $\epsilon_{i\text{动}} = \int d\epsilon_i = \int_L (\vec{v} \times \vec{B}) \cdot d\vec{l}$

方向: 运动导线中的正电荷受力方向 (即 $\vec{v} \times \vec{B}$ 在运动导线上的投影方向)

电动势计算 ① 由定义求解 $\epsilon_{\text{动}} = \oint_L \vec{E}_K \cdot d\vec{l} = \oint_L (\vec{v} \times \vec{B}) \cdot d\vec{l} = \int_L^+ (\vec{v} \times \vec{B}) \cdot d\vec{l}$ 适用于切割磁力线导体

可以理解为 $\int_L (vB \sin(\vec{v}, \vec{B}) dl \cos(\vec{v} \times \vec{B}, d\vec{l}))$

典型结论: 对于一根在磁场中运动的直棒, 棒与磁场成一定角度, 有 $\epsilon = Bvl \sin \alpha$

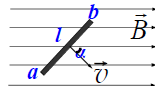
由此: 闭合线圈平动, 磁通量不变, 感生电动势为零。

② 由法拉第定律求解 $\epsilon_i = -\frac{d\phi}{dt}$ 适用于一切产生电动势的回路

如果回路不闭合, 需要添加辅助线使其闭合。大小和方向可以分别确定。

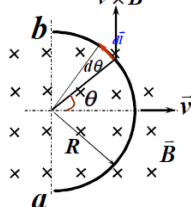
例题:

1. 如图所示直导线 ab 的电动势为 0



2. 有一个半圆形金属导线在匀强磁场中切割磁力线运动, 已知 \vec{v}, \vec{B}, R , 求动生电动势

$$dl = R d\theta$$

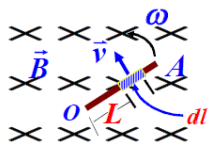


法一: 做辅助线形成闭合回路, 则整体电动势为零。又有 ab 电动势为 $2RvB$ 故半圆电动势为 $2RvB$, 方向 $a \rightarrow b$

法二: 取微元 $d\epsilon = (\vec{v} \times \vec{B}) \cdot d\vec{l} = vB \sin 90^\circ dl \cos \theta$

$$\epsilon = vBR \int_{-\pi/2}^{\pi/2} \cos \theta d\theta = vB2R \text{ 方向 } a \rightarrow b$$

3. 长为 L 的棒在 B 匀强场中以角速度 ω 绕 O 轴转动，求两端动生电动势大小与方向



法一：取棒上微元 $d\vec{l}$ ，有 $v = \omega l$ ($\vec{v} \times \vec{B}$) 与 $d\vec{l}$ 同向。

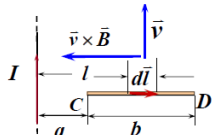
$$d\varepsilon_i = Bvdl = B\omega dl \quad \varepsilon_i = \int d\varepsilon_i = \int_0^L B\omega dl = \frac{1}{2}B\omega L^2 \quad \text{方向 } A \rightarrow O$$

法二：作辅助线形成闭合回路 $OACO$

$$\Phi_m = \int_S \vec{B} \cdot d\vec{S} = \int_S B dS = BS_{OACO} = \frac{1}{2}B\theta L^2$$

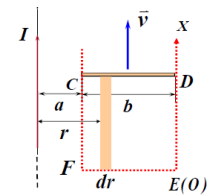
$$\varepsilon_i = -\frac{d\Phi}{dt} = -\frac{1}{2}BL^2 \frac{d\theta}{dt} = -\frac{1}{2}B\omega L^2 \quad \text{方向沿 } AOCA$$

4. 一直导线 CD 在一个无限长的直电流磁场中切割磁场线运动，求动生电动势。



法一： $d\varepsilon_i = (\vec{v} \times \vec{B}) \cdot d\vec{l} = v \frac{\mu_0 I}{2\pi l} \sin 90^\circ dl \cos 180^\circ = -\frac{\mu_0 v I}{2\pi l} dl$

$$\varepsilon_i = -\frac{\mu_0 v I}{2\pi} \int_a^{a+b} \frac{1}{l} dl = -\frac{\mu_0 v I}{2\pi} \ln \frac{a+b}{a} \quad \text{C 端高电势}$$

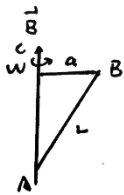


法二：作辅助线，形成闭合回路 $CDEF$

$$\Phi = \int_S \vec{B} \cdot d\vec{S} = \int_a^{a+b} \frac{\mu_0 I}{2\pi r} x dr = \frac{\mu_0 I x}{2\pi} \ln \frac{a+b}{a}$$

$$\varepsilon_i = -\frac{d\Phi}{dt} = -\left(\frac{\mu_0 I}{2\pi} \ln \frac{a+b}{a}\right) \frac{dx}{dt} = -\frac{\mu_0 v I}{2\pi} \ln \frac{a+b}{a}$$

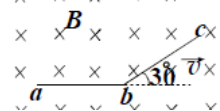
5. 如图，回路 ABC 在匀强磁场中以角速度 ω 绕 AC 边旋转， $BC=a$ ， $AB=L$ ，求电动势



$$CB: -\frac{1}{2}B\omega a^2 \quad BA: \frac{1}{2}B\omega a^2$$

总通量变化为零，总电动势为 0

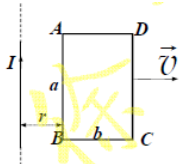
6. 弯折导棒 abc 在均匀磁场中以速度 v 运动，求动生电动势



则 ab 段不产生动生电动势

$$\text{有 } bc \text{ 端产生动生电动势: } Blv \cdot \sin \theta = \frac{1}{2}Blv$$

7. 无限长直导线电流 I ，旁边有矩形线圈 $ABCD$ ， AB 长为 a ， BC 长为 b ，线圈向右运动 \vec{v} ，当 B 点与导线距离 $r = d$ 时，求线圈内的感应电动势大小和感应电动势的方向。



设任意时刻 B 与长直导线间距为 r 。则任意时刻 $ABCD$ 磁通量为 $\Phi = \int_r^{r+b} \frac{\mu_0 I}{2\pi x} a dx = \frac{\mu_0 I a}{2\pi} \ln \frac{r+b}{r}$

$$\text{所以，感应电动势为 } \varepsilon_i = -\frac{d\Phi}{dt} = -\frac{d}{dr} \left(\frac{\mu_0 I a b}{2\pi} \right) \bigg|_{r=d} = \frac{\mu_0 I a b v}{2\pi d(d+b)} \quad \text{方向为顺时针}$$

12.2.2 感生电动势

描述 导体回路不动，由于**磁场变化**产生的感应电动势叫做感生电动势

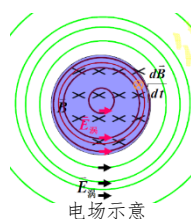
电荷受力 存在一种不同于静电场的新类型的电场（**感生电场、涡旋电场**）。它来源于磁场的变化，提供产生感生电动势的非静电力。电荷受力有 $\vec{F} = q\vec{E}_{\text{静}} + q\vec{E}_{\text{感}} + q\vec{v} \times \vec{B}$

麦克斯韦假设 变化的磁场在其周围空间激发一种**涡旋状**的电场，称为涡旋电场或感生电场。记为 $\vec{E}_{\text{感}}$

$$\text{根据定义: } \varepsilon_i = \oint_L \vec{E}_{\text{感}} \cdot d\vec{l} = -\frac{d\Phi}{dt} = -\frac{d}{dt} \left(\int_S \vec{B} \cdot d\vec{S} \right) = -\int_S \frac{\partial \vec{B}}{\partial t} \cdot d\vec{S}$$

$$\text{公式描述} \quad \oint_L \vec{E}_{\text{感}} \cdot d\vec{l} = -N \int_S \frac{\partial \vec{B}}{\partial t} \cdot d\vec{S}$$

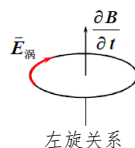
注意 ① 该式反应变化磁场和感生电场的相互关系。**感生电场由变化磁场产生。**



② S 是以 L 为边界的任一曲面。 \vec{S} 的法线方向应与曲线 L 的积分方向成右手螺旋关系。

$\frac{\partial \vec{B}}{\partial t}$ 是曲面上任一面元处磁感应强度的变化率，不是积分回路线元上的磁感应强度变化率

③ $\vec{E}_{\text{涡}}$ 与 $\frac{\partial \vec{B}}{\partial t}$ 构成左旋关系。



性质 ① 感生电场对处在其中的电荷有力的作用。

② 在感生电场中引进导体，**导体内会产生感应电动势，导体不是等势体**

③ 在静电场中引进导体，产生静电平衡，导体是个等势体

电场比较

起源

电场线

性质

特点

对电荷作用

静电场

由**静止**电荷激发

非闭合曲线

有源: $\oint_S \vec{E} \cdot d\vec{S} = \frac{1}{\epsilon_0} \Sigma q_{\text{内}}$

保守: $\oint_L \vec{E} \cdot d\vec{l} = 0$

不能脱离源电荷存在

$\vec{F}_{\text{静}} = q\vec{E}_{\text{静}}$



感生电场

由**变化**着的磁场激发

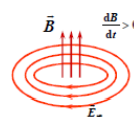
闭合环路

无源: $\oint_S \vec{E}_{\text{涡}} \cdot d\vec{S} = 0$

涡旋: $\oint_L \vec{E}_{\text{涡}} \cdot d\vec{l} = -N \int_S \frac{\partial \vec{B}}{\partial t} \cdot d\vec{S}$

可以脱离源在空间传播

$\vec{F}_{\text{感}} = q\vec{E}_{\text{感}}$



相互联系

$\vec{F}_{\text{感}}$ 作为产生感应电动势的非静电力，可以引起导体中电荷的堆积，从而建立起静电场

感应电动势比较

动生电动势

感生电动势

公式

$\epsilon_i = \int (\vec{v} \times \vec{B}) \cdot d\vec{l}$

$\epsilon_i = \oint \vec{E}_{\text{涡}} \cdot d\vec{l} = - \int_S \frac{\partial \vec{B}}{\partial t} \cdot d\vec{S}$

原因

由于 S 变化引起通量变化

由于 B 变化引起通量变化

非静电力来源

洛伦兹力

感生电场力

电势计算

① 计算电动势: $\epsilon_i = \int_a^b \vec{E} \cdot d\vec{l}$ 闭合回路: $\epsilon_i = \oint \vec{E}_{\text{涡}} \cdot d\vec{l} = - \int_S \frac{\partial \vec{B}}{\partial t} \cdot d\vec{S}$

② 感生电场分布: $\oint \vec{E}_{\text{涡}} \cdot d\vec{l} = - \frac{d\Phi}{dt} \rightarrow \vec{E} = \vec{E}(\vec{r})$

适用条件

具有轴对称性的感生电场分布求解

① 任意选定回路 L 正方向

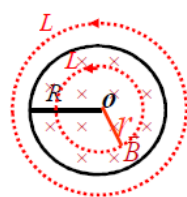
② 用右手螺旋确定此回路为边界的曲面的正向

③ 用楞次定律判定 $\vec{E}_{\text{涡}}$ 方向

④ 代入积分式计算

例题

1. 已知半径 R 长直螺线管中电流随时间线性变化，使得管内 B 随时间增大，求感生电场分布。



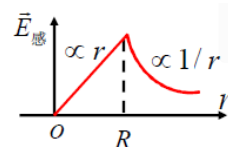
则有 $\frac{dB}{dt} = C > 0$ ，对称性分析: $\vec{E}_{\text{感径向}} = 0$ $\vec{E}_{\text{感轴向}} = 0$

$\vec{E}_{\text{感}}$ 只有以螺线管轴线为中心的圆周切向分量，感生电场线是垂直于轴线平面的一系列同心圆

做环路 L: $\oint_L \vec{E}_{\text{感}} \cdot d\vec{l} = E_{\text{感}} \cdot 2\pi r = - \int_S \frac{\partial \vec{B}}{\partial t} \cdot d\vec{S} = - \int_S \frac{dB}{dt} dS \cos \pi = \int_S \frac{dB}{dt} dS$

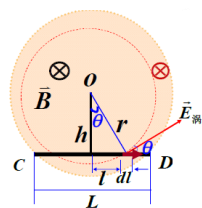
$r \leq R$ 时: $\int_S \frac{dB}{dt} dS = \frac{dB}{dt} \pi r^2 \Rightarrow E_{\text{感}} = \frac{\frac{dB}{dt} \pi r^2}{2\pi r} = \frac{r}{2} \frac{dB}{dt} \propto r$

$r > R$ 时: $\int_S \frac{dB}{dt} dS = \frac{dB}{dt} \pi R^2 \Rightarrow E_{\text{感}} = \frac{\frac{dB}{dt} \pi R^2}{2\pi r} = \frac{R^2}{2r} \frac{dB}{dt} \propto \frac{1}{r}$



注意: 只要有变化磁场，整个空间就存在感生电场（光速传播）；求感生电场分布非常复杂，只考这类简单情况。

2. 有一匀强磁场分布在一圆柱形区域内。已知: $h, L, \frac{\partial \vec{B}}{\partial t} > 0$, 求 ε_{CD}



法一: 利用 $\varepsilon_i = \int_a^b \vec{E}_{\text{涡}} \cdot d\vec{l}$ 有 $E_{\text{涡}} = \frac{r}{2} \frac{dB}{dt}$ $d\varepsilon = \vec{E}_{\text{涡}} \cdot d\vec{l} = \frac{r}{2} \frac{dB}{dt} dl \cos \theta = \frac{h}{2} \frac{dB}{dt} dl$

(有 $r \cos \theta = h$) 故 $\varepsilon_{CD} = \frac{h}{2} \frac{dB}{dt} \int_L dl = \frac{1}{2} hL \frac{dB}{dt}$ 方向 $C \rightarrow D$

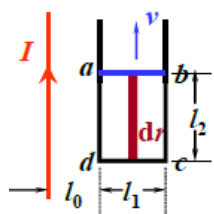
法二: 利用 $\varepsilon_i = \oint_L \vec{E}_{\text{涡}} \cdot d\vec{l} = -\frac{d\Phi}{dt}$ 选择绕行方向 OCDO

$\varepsilon_i = \oint_{OCDO} \vec{E} \cdot d\vec{l} = \int_O^C \vec{E}_{\text{涡}} \cdot d\vec{l} + \int_C^D \vec{E}_{\text{涡}} \cdot d\vec{l} + \int_D^O \vec{E}_{\text{涡}} \cdot d\vec{l} = 0 + \varepsilon_{CD} + 0$

DCDO所围面积为: $S = \frac{1}{2} hL$ 磁通量 $\Phi_m = \vec{B} \cdot \vec{S} = -\frac{1}{2} hLB$

$\varepsilon_i = -\frac{d\Phi_m}{dt} = \frac{1}{2} hL \frac{dB}{dt}$ 方向 $C \rightarrow D$

3. 电流为 $I = I_0 \cos \omega t$ 的长直导线附近有一与其共面的矩形线框, 其 ab 边可以速度 v 无摩擦匀速平动。设 $t = 0$ 时刻 ab 与 dc 重合, 求线框总的感应电动势。



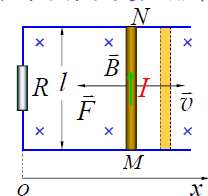
设 t 时刻 $I > 0$, 空间磁场为 $B = \frac{\mu_0 I}{2\pi r}$ 方向指向纸面, cb 边长为 $l_2 = vt$

穿过线框的磁通量为: $\Phi_m = \oint \vec{B} \cdot d\vec{S} = \int_{l_0}^{l_0+l_1} \frac{\mu_0 I}{2\pi r} l_2 dr = \frac{\mu_0 I_0 \cos \omega t}{2\pi} vt \ln \left(\frac{l_0+l_1}{l_0} \right)$

t 时刻感应电动势为: $\varepsilon_i = -\frac{d\Phi_m}{dt} = \frac{\mu_0 I_0 v}{2\pi} \ln \left(\frac{l_0+l_1}{l_0} \right) (\omega t \sin \omega t - \cos \omega t)$

本题既有感生电动势, 也有动生电动势。

4. 均匀磁场 B , 有一质量为 m , 长为 l 的可移动细导线棒 MN, 矩形框还接有电阻 R 。开始时细导体棒以速度 \vec{v}_0 沿如图所示的矩形框运动, 求棒的速率随时间变化的函数关系。



如图建系。动生电动势 $\varepsilon_i = Blv$, 方向 $M \rightarrow N$ 直棒所受安培力 $F = IBl = \frac{B^2 l^2 v}{R}$ 沿负方向

则有 $m \frac{dv}{dt} = -\frac{B^2 l^2 v}{R}$ 则 $\int_{v_0}^v \frac{dv}{v} = -\int_0^t \frac{B^2 l^2}{mR} dt$ 计算可得: $v = v_0 e^{-\left(\frac{B^2 l^2}{mR}\right)t}$

12.3 互感和自感

12.3.1 自感现象 Self-induction phenomenon

自感现象 由于线圈中的电流变化时，激发的变化磁场引起了线圈自身的磁通量变化，从而在线圈回路自身产生感生电动势的现象叫自感现象。记为自感电动势 ε_L

自感系数 通过线圈的磁通量与线圈自身的电流成正比，即 $\Phi = LI$ ，其中 L 即为自感系数，简称自感 L 由线圈形状、大小、匝数、周围介质分布等因素决定。当线圈大小形状保持不变，附近不存在铁磁质时，自感系数 L 为常量。

单位：亨利H 毫亨mH $1\text{H} = 10^3\text{mH}$ $1\text{H} = 1\text{Wb} \cdot \text{A}^{-1} = 1\text{V} \cdot \text{s} \cdot \text{A}^{-1}$

自感电动势 线圈中电流 I 发生变化，自身磁通量也相应变化，在线圈中将产生自感电动势。

$$\text{有 } \varepsilon_{iL} = -\frac{d\Phi}{dt} = -\frac{d}{dt}(LI) = -L\frac{dI}{dt}$$

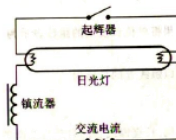
物理意义 若 L 为常数，则 $\frac{dL}{dt} = 0$ ， $\varepsilon_{iL} = -L\frac{dI}{dt} \Rightarrow L = -\frac{\varepsilon_{iL}}{dI/dt}$

意义为当线圈中电流变化率为一个单位时，线圈中自感电动势的大小

负号表示 ε_{iL} 总是阻碍 I 的变化。当 dI/dt 一定时， $L \nearrow |\varepsilon_{iL}| \nearrow$ ，线圈阻碍 I 变化的能力越强所以 L 用于描述线圈电磁惯性的大小

自感计算 ① 设 I ② 求 \vec{B} 分布 ③ 求 $\Phi = \int_S \vec{B} \cdot d\vec{S}$ ④ 计算 $L = \frac{\psi}{I}$

若线圈有 N 匝，磁通匝数为 $\psi = N\Phi = N \int_S \vec{B} \cdot d\vec{S}$ ，则自感为 $L = \frac{\psi}{I}$



日光灯镇流器

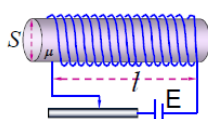
自感应用 日光灯镇流器、高频扼流圈、自感线圈与电容器组合构成振荡电路或滤波电路

日光灯镇流器 通电后，启辉器辉光放电，金属片受热形变互相接触，形成闭合回路，电流流过，日光灯灯丝加热释放电子。同时，启辉器接通辉光熄灭，金属片冷却断开，电路切断，镇流器线圈中产生比电源电压高得多的自感电动势，使管内气体电离发光。

自感危害 电路断开时，产生自感电弧

例题

1. 长直绕螺线管，已知 l, S, N, μ ，求其自感 L （忽略边缘效应）



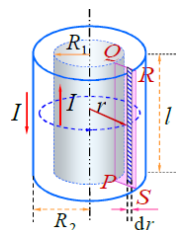
思路：先设电流 I ，根据环路定理求得 B ，求得磁通量与 ψ ，计算 L

$$\text{有 } n = \frac{N}{l}, \quad B = \mu n I, \quad \psi = N\Phi = NBS = N\mu \frac{N}{l} IS \quad L = \frac{\psi}{I} = \mu \frac{N^2}{l} S$$

$$\text{又有 } n = \frac{N}{l}, V = lS \Rightarrow L = \mu n^2 V$$

由此可见，自感与线圈体积成正比，与单位长度上匝数平方成正比，与磁导率成正比因此，可以通过增大 V 、提高 n 、放入磁导率高的介质三种方式增大 L

2. 两个同轴圆筒形导体，半径分别为 R_1, R_2 ，通过电流 I ，电流流向相反。筒间有 μ 均匀磁介质，求自感 L



可得圆筒之间 $B = \frac{\mu I}{2\pi r}$ 如图取长为 l 的面 $PQRS$ ，将其分为许多小面元

$$\text{则 } d\Phi = \vec{B} \cdot d\vec{S} = B l dr \quad \Phi = \int d\Phi = \int_{R_1}^{R_2} \frac{\mu I}{2\pi r} l dr = \frac{\mu I l}{2\pi} \ln \frac{R_2}{R_1}$$

$$\text{则 } L = \frac{\Phi}{I} = \frac{\mu l}{2\pi} \ln \frac{R_2}{R_1} \quad \text{单位长度的自感为: } \frac{\mu}{2\pi} \ln \frac{R_2}{R_1}$$

3. 横截面为正方形的木制圆环，内径外径已知，木环上密绕导线，求自感系数

12.3.2 互感现象 Mutual Induction Phenomenon

互感现象

一个线圈中电流发生变化会在周围空间产生变化的磁场，使处于此空间的另一个线圈中磁通量变化，产生感应电动势

互感系数

I_1 在 I_2 电流回路中所产生的磁通量 $\Phi_{12} = M_{12}I_1$ I_2 在 I_1 电流回路中所产生的磁通量 $\Phi_{21} = M_{21}I_2$ M_{12} 是线圈 1 对线圈 2 的互感系数，简称互感

定义式

线圈 2 中产生的感应电动势： $\varepsilon_2 = -\frac{d\Phi_{12}}{dt} = -\frac{d}{dt}(M_{12}I_1)$

在线圈形状、大小、相对位置不变、周围不存在铁磁质情况下，互感 M_{12} 为常量，上式可化为

$\varepsilon_2 = -M_{12} \frac{dI_1}{dt}$ 同理，线圈 1 中产生的 $\varepsilon_1 = -M_{21} \frac{dI_2}{dt}$ (方向可由楞次定律判定)

故有 $M_{21} = M_{12} = M = \frac{\Phi_{21}}{I_2} = \frac{\Phi_{12}}{I_1}$ (Φ_{21} 为 2 对 1 产生的磁通量)

单位

与自感系数一致，为亨利

影响因素

两个线圈的几何形状、大小、匝数、相对位置、周围的磁介质

若存在非铁磁质，还与磁介质的磁导率有关，但与线圈中的电流无关。

若存在铁磁质，则互感还决定于线圈中的电流。

物理意义

$\varepsilon_2 = -M_{12} \frac{dI_1}{dt}$ $\varepsilon_1 = -M_{21} \frac{dI_2}{dt}$ $M = -\frac{\varepsilon_2}{dI_1/dt} = -\frac{\varepsilon_1}{dI_2/dt}$

M 为当一个回路中的电流变化率为一个单位时，在相邻另一回路中引起的互感电动势

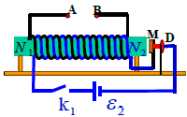
计算步骤

① 设 I_1 ② 求 I_1 磁场分布 \vec{B}_1 ③ 计算穿过回路 2 的 Φ_{12} ④ 得到 $M = \frac{\Phi_{12}}{I_1}$

互感应用

无线电和电磁测量、电源变压器、电压互感器、电流互感器

感应圈



在实际应用中常用两个同轴长直螺线管之间的互感来获得高压。

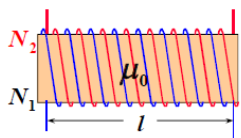
如图所示，硅钢铁芯上绕有 N_1, N_2 的两个线圈，且 $N_2 \gg N_1$ ，由断续器 (MD) 将 N_1 与低压电源连接，接通电源后，断续器使 N_1 中的电流反复通断，通过互感获得感应电动势，从而在次级线圈 N_2 中获得几万伏的电压。常用于汽车点火器、煤气灶点火器、电警棍等。

互感危害

电路之间的互感干扰

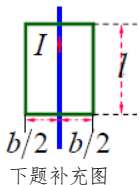
例题

1. 两个同轴长直绕螺线管：已知 μ_0, N_1, N_2, l, S ，求互感系数



设通过线圈 1 的电流为 I_1 ，则 $B_1 = \mu_0 \frac{N_1}{l} I_1 = \mu_0 n_1 I_1$ $\Phi_{12} = \int \vec{B} \cdot d\vec{S} = B_1 S = \mu_0 \frac{N_1}{l} I_1 S$

则有 $M = \frac{N_2 \Phi_{12}}{I_1} = \mu_0 \frac{N_1 N_2}{l^2} l S = \mu_0 n_1 n_2 V$

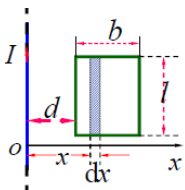


进一步地， $L_1 = \mu_0 n_1^2 V$ ， $L_2 = \mu_0 n_2^2 V$ ，可得 $M = \sqrt{L_1 L_2}$

在该例题中，线圈 1 的磁通全部通过线圈 2，称为无磁漏。一般情况下， $M = K \sqrt{L_1 L_2}$

K 为耦合系数，取值 $0 \leq K \leq 1$ ，反应两个回路磁场耦合松紧的程度。

2. 磁导率为 μ 的均匀无限大磁介质中，有一无限长直导线和宽为 b, l 的矩形线圈共面，直导线与矩形线圈一侧平行，相距为 d ，求二者的互感系数。



设长直导线电流为 I ，则 $B = \frac{\mu I}{2\pi x}$ $d\Phi = \vec{B} \cdot \vec{S} = \frac{\mu I}{2\pi x} l dx$

$\Phi = \int_d^{b+d} \frac{\mu I}{2\pi x} l dx = \frac{\mu I l}{2\pi} \ln\left(\frac{b+d}{d}\right)$

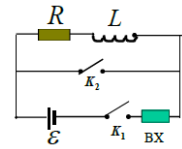
故 $M = \frac{\Phi}{I} = \frac{\mu l}{2\pi} \ln\left(\frac{b+d}{d}\right)$

若导线如右图放置，则根据对称性有 $\Phi = 0 \rightarrow M = 0$

3. 如图所示，两个环形导体 a, b 相互垂直放置，各自电流同时发生变化时，则两环形导体只产生自感电流，不产生互感电流。(各自磁通无影响)



12.4 磁场的能量



推导 从螺绕环磁场能量特例中导出磁场能量一般表达式。

在 $0 \sim t_0$ 这段时间内有 $\varepsilon + \varepsilon_L = iR$ ，其中自感电动势为 $\varepsilon_L = -nL \frac{dB}{dt}$ ，则 $\varepsilon = nL \frac{dB}{dt} + iR$ ，同乘 $i dt$ 得到

$$\varepsilon i dt \text{ 电源做功} = nL S dB \text{ 电源反抗自感电动势做功} + i^2 R dt \text{ 回路电阻所放出的焦耳热}$$

dt 时间内电源供给螺绕环磁场能量为 $nL S dB$ ，供给单位体积磁场能量为 $indB$ ，根据安培环路定理，**环**

内磁场强度为 $H = ni$ ，则**磁场能量密度**为： $w_m = \int_0^B \vec{H} \cdot d\vec{B}$ （一般表达式，适用于真空和任何各向同性磁介质）

对于各向同性的顺磁质和抗磁质，有 $B = \mu_0 \mu_r H$

密度 故： $w_m = \int_0^H H d(\mu_0 \mu_r H) = \frac{1}{2} \mu_0 \mu_r H^2 = \frac{1}{2} BH$ 整个磁场能量为： $W_m = \iiint_V w_m d\tau = \iiint_V \frac{1}{2} BH d\tau$

对于磁芯是各向同性的顺磁质和抗磁质，当电流达到稳定值 I 时，能量为：

能量 $W_m = w_m LS = \frac{1}{2} \mu H^2 LS = \frac{1}{2} \mu n^2 I^2 LS$ 由于 $L = \mu n^2 V$ ，故 $W_m = \frac{1}{2} LI^2$

这种磁场能量与电路自感相联系称为**自感磁能**。

$$\text{无磁介质时: } w_m = \frac{1}{2} \frac{B^2}{\mu_0}$$

电磁场能量密度 $w = \frac{1}{2} (\vec{E} \cdot \vec{D} + \vec{B} \cdot \vec{H})$

电磁场总能量 $W = \iiint_V \frac{1}{2} (\vec{E} \cdot \vec{D} + \vec{B} \cdot \vec{H}) \cdot dV$

能量对比 电场能量

$$\text{电容器储能: } \frac{1}{2} CU^2 = \frac{1}{2} QU = \frac{Q^2}{2C}$$

$$\text{电场能量密度: } w_e = \frac{1}{2} ED = \frac{1}{2} \varepsilon_0 \varepsilon_r E^2$$

$$\text{电场能: } W_e = \int_V w_e dV$$

能量法可求电容 C

磁场能量

$$\text{自感线圈储能: } \frac{1}{2} LI^2$$

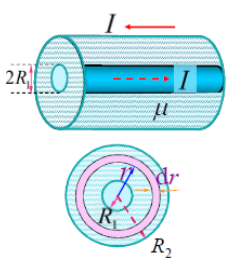
$$\text{磁场能量密度: } w_m = \frac{1}{2} BH = \frac{B^2}{2\mu_0 \mu_r} = \frac{B^2}{2\mu_0}$$

$$\text{磁场能: } W_m = \int_V w_m dV$$

能量法可求自感 L

例题

1. 同轴电缆，中间有磁介质，芯线与圆筒上电流大小相等，方向相反，已知 R_1, R_2, I, μ ，求单位长度同轴电缆的磁能与自感（金属芯线内部磁场可忽略）



$$\text{由安培环路定理求 } H \begin{cases} H = 0 & r < R_1 \\ H = \frac{I}{2\pi r} & R_1 < r < R_2 \\ H = 0 & r > R_2 \end{cases} \text{ 则 } R_1 < r < R_2 \text{ 时, } w_m = \frac{1}{2} \mu H^2 = \frac{1}{2} \mu \left(\frac{I}{2\pi r} \right)^2$$

$$w_m = \frac{\mu I^2}{8\pi^2 r^2} \quad \text{则有 } W_m = \int_V \frac{\mu I^2}{8\pi^2 r^2} dV \quad \text{其中 } dV \text{ 表示单位长度壳层体积: } dV = 2\pi r dr \cdot 1$$

$$\text{则 } W_m = \int_{R_1}^{R_2} \frac{\mu I^2}{4\pi r} dr = \frac{\mu I^2}{4\pi} \ln \frac{R_2}{R_1}$$

$$\text{又有 } W_m = \frac{1}{2} LI^2 \Rightarrow L = \frac{\mu}{2\pi} \ln \frac{R_2}{R_1}$$